

УДК 544.473-039.63-386:546.733:547.496.2:547.538

**А. В. Грекова, П. А. Иванченко, И. Й. Сейфуллина, Г. Н. Хитрич**  
Одесский национальный университет имени И. И. Мечникова,  
химический факультет, кафедра общей химии и полимеров,  
ул. Дворянская, 2, Одесса, 65082, Украина

## **НОВЫЕ ИНИЦИИРУЮЩИЕ СИСТЕМЫ ДЛЯ ПОЛИМЕРИЗАЦИИ ВИНИЛОВЫХ МОНОМЕРОВ ТРЕТИЧНЫЕ ГИДРОПЕРОКСИДЫ — КОМПЛЕКС ХЛОРИДА МЕДИ(II) С ПИПЕРИДИН-1-ИЛ ПИПЕРИДИН-1-КАРБОДИТИОАТОМ**

Изучена кинетика полимеризации стирола в массе, инициированная третичными гидропероксидами бутила и кумила, комплексом хлорида меди(II) с пиперидин-1-ил пиперидин-1-карбодитиоатом и системами на их основе в температурном диапазоне 293—363 К. Определены кинетические параметры полимеризационного процесса. Установлено, что применение двухкомпонентных систем третичные гидропероксиды — комплекс хлорида меди(II) с пиперидин-1-ил пиперидин-1-карбодитиоатом для полимеризации стирола сопровождается существенным снижением энергии активации инициирования.

**Ключевые слова:** комплекс хлорида меди(II) с пиперидин-1-ил пиперидин-1-карбодитиоатом, гидропероксиды кумола и третичного бутила, стирол.

В настоящее время комплексные соединения переходных металлов, растворимые в органических средах, нашли применение в качестве катализаторов химических реакций в гомогенных условиях. Повышенный интерес к этой быстроразвивающейся и перспективной области химии обусловлен тем, что гомогенные каталитические процессы в их присутствии протекают в гораздо более мягких условиях, чем гетерогенные, а в ряде случаев селективно и избирательно. Ранее [1] нами было показано, что координационные соединения, в частности, замещенные N,N-диэтилдитиокарбаматы и  $\beta$ -дикетоны 3d-металлов являются катализаторами разложения третичных гидропероксидов с образованием свободных радикалов в полимеризующихся системах в области умеренно низких температур. Анализ полученных при этом экспериментальных данных показал, что полимеризацию виниловых мономеров в присутствии третичных гидропероксидов с участием комплексов 3d-металлов при мольном соотношении 100:1 можно реализовать в контролируемом режиме [2].

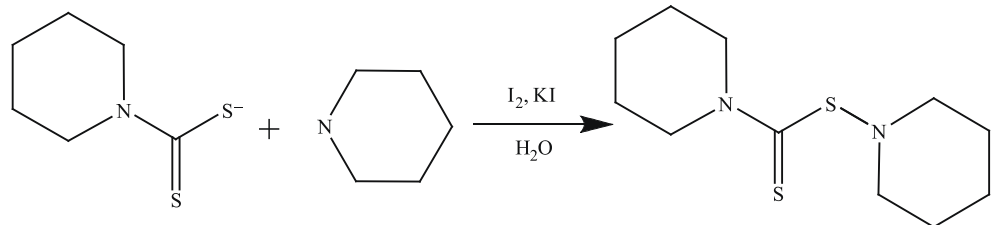
Задача настоящей работы состояла в изучении кинетики полимеризации стирола в массе, инициированной системами на основе третичных гидропероксидов и комплекса хлорида меди(II) с пиперидин-1-ил пиперидин-1-карбодитиоатом в температурном диапазоне 293—363 К.

### **Объекты и методы исследования**

В работе использовали  $\text{CuCl}_2$ , полученный обезвоживанием  $\text{CuCl}_2 \cdot 2\text{H}_2\text{O}$  по методике [3], КІ квалификации «ч. д. а.», а также  $\text{I}_2$ , пиперидин, сероуглерод, гидроксид натрия квалификации «ч.». Пиперидин и сероуглерод

очищали перегонкой, ацетон и диэтиловый эфир — стандартно [4]. Пиперидин-1-карбодитиоат натрия получали взаимодействием эквимолярных количеств пиперидина,  $\text{CS}_2$  и  $\text{NaOH}$  в охлажденном до  $-5\text{--}0$  °C водном растворе [5].

Синтез и идентификацию пиперидин-1-ил пиперидин-1-карбодитиоата ( $L$ ) осуществляли реакцией окислительной конденсации пиперидин-1-карбодитиоата натрия и пиперидина по методикам [6, 7] согласно схеме:



Комплекс хлорида меди(II) с пиперидин-1-ил пиперидин-1-карбодитиоатом ( $I$ ) синтезировали при комнатной температуре взаимодействием насыщенных растворов безводного  $\text{CuCl}_2$  в ацетоне и  $L$  в диэтиловом эфире. Образующийся осадок коричневого цвета промывали диэтиловым эфиром и высушивали на воздухе.

Элементный анализ осадка на содержание углерода, азота и водорода выполняли на полуавтоматическом C, N, H-анализаторе. Содержание хлора и серы определяли по Шенигеру [8], меди(II) — комплексонометрически [9]. Выход — 7 %. Найдено, %: C, 27,85; H, 4,11; Cl, 21,93; Cu, 24,93; N, 4,93; S, 12,64. Результатам проведенного анализа соответствует брутто-формула  $\text{C}_{11}\text{H}_{19}\text{Cu}_2\text{N}_2\text{S}_2$  ( $M = 476,86$  г/моль). Соединение  $I$  хорошо растворимо в ацетонитриле, ДМФА, ДМСО, метаноле, стироле, хлороформе, ацетоне, хуже — в изопропаноле.

Масс-спектр  $I$  регистрировали на приборе МИ 1201 в режиме бомбардировки ускоренными атомами при использовании раствора соединения в глицериновой матрице. Магнитную восприимчивость  $I$  измеряли методом Гуи. Калибровку проводили по  $\text{Co}[\text{Hg}(\text{CNS})_4]$ . Диамагнитные поправки введены по инкрементам, взятым из [10]. Термическую устойчивость  $I$  изучали в платиновом тигле на дериваторе Q-1500 D системы Paulik-Paulik-Erdey в воздушной среде в интервале 20—1000 °C (скорость нагревания — 10 град/мин, чувствительность ДТА и ДТГ — 1/5 максимальной, эталон —  $\text{Al}_2\text{O}_3$ ).

Этилбензол и бензол очищали согласно [4]. В качестве мономера применяли стирол. Очистку технического стирола проводили согласно методике [11]. Высушенный над хлористым кальцием стирол подвергали вакуумной перегонке с применением ректификационной колонки в атмосфере азота при 10—15 мм рт. ст. и температуре 313—318 K. Как инициаторы использовали третичные гидропероксиды кумола /ГПК/ и третичного бутила /ГПТБ/, которые очищали согласно [12]. Константы стирола ( $n_{D}^{20} = 1,5465$ ;  $d_{4}^{20} = 0,9062$  г/см<sup>3</sup>), гидропероксида кумола ( $n_{D}^{20} = 1,5463$ ,  $d_{4}^{20} = 0,9061$  г/см<sup>3</sup>) и гидропероксида третичного бутила ( $n_{D}^{20} = 1,4013$ ) соответствовали литературным данным [13].

Кинетические опыты по катализитическому разложению гидропероксида кумола проводили в модельном растворителе (этилбензole) в реакторе барботажного типа при температуре 353 K. Расход гидропероксида контролировали методом йодометрии, как описано в [14].

Кинетику полимеризации стирола в массе, инициированной ГПК и ГПТБ в присутствии комплекса I, изучали методом дилатометрии. Конверсию превращения мономера в полимер рассчитывали по формуле:

$$S = \Delta V \cdot 100 / g(1/d_m - 1/d_n),$$

где  $S$  — конверсия мономера, %;  $\Delta V$  — изменение объема в полимеризационной среде,  $\text{см}^3$ ;  $g$  — масса мономера, г;  $d_m$ ,  $d_n$  — плотность мономера и полимера соответственно при данной температуре полимеризации,  $\text{г}/\text{см}^3$ .

По значениям конверсии во времени строили кинетические кривые  $S = f(t)$  и по тангенсу угла их наклона рассчитывали стартовую скорость полимеризации при соответствующих условиях.

Молекулярные массы полимеров определяли с помощью экспресс-метода — вискозиметрии. Вязкость бензольных растворов полимеров измеряли вискозиметром Оствальда с внутренним разбавлением. Молекулярные массы полимеров рассчитывали по уравнению Марка—Хаувинка—Штайднера:  $[\eta] = k \cdot M^\alpha$ , где  $[\eta]$  — характеристическая вязкость,  $k$  и  $\alpha$  — константы, равные  $1,23 \cdot 10^{-4}$  и  $0,66$  соответственно для системы полистирол—бензол при  $T = 398$  К.

### **Результаты и их обсуждение**

По данным элементного анализа I было найдено мольное соотношение составляющих атомов  $\text{Cu:N:Cl:S} = 1:1:1,5:1$ . Это позволило предположить, что I является димером. Наблюдаемые в масс-спектре I пики осколочных ионов, образовавшихся в результате разрыва хлоридных мостиковых связей, свидетельствуют в пользу этого предположения. Димерное строение I подтверждается также данными магнетохимии: величина эффективного магнитного момента ( $\mu_{\text{эфф.}}$ ) составляет  $1,14 \mu_B$ , что значительно ниже, чем «чистоспиновое» значение ( $1,73 \mu_B$ ) для ионов меди (II).

Поскольку изучение эффективности новой инициирующей системы на основе третичных гидропероксидов и синтезированного комплекса для полимеризации виниловых мономеров проводилось в области умеренно низких температур (323—363 К), при которых ГПК и ГПТБ заметно не разлагаются, то представлялось актуальным изучение термической устойчивости I.

Термогравиметрическое исследование I (табл. 1) показало, что его термолиз протекает в несколько стадий и имеет сложный механизм (конечный продукт —  $\text{CuO}$ ).

По полученным данным можно сделать вывод об устойчивости синтезированного комплекса в рассматриваемом температурном интервале проведения процесса полимеризации.

Изучению кинетики полимеризации стирола, инициируемой третичными гидропероксидами, в присутствии комплекса I предшествовали опыты, целью которых было выяснить, оказывает ли последний на примере ГПК влияние на процесс разложения инициатора. Установлено, что в модельной системе (этилбензоле) в присутствии незначительных количеств I ( $3,9 \cdot 10^{-4}$  моль/л) происходит разложение ГПК в области температур, при которых он практически устойчив. На рисунке представлена кинетическая кривая брутто-расходования ГПК в присутствии I при температуре 353 К. Она состоит из двух участков: на первом — глубина разложения ГПК составляет 25 % от исходной концентрации инициатора  $\sim 90$  мин, а на втором — 20 % за  $\sim 120$  минут. Число катализитических циклов, соот-

Таблица 1

## Результаты термического анализа I

Соединение	Интервал температур по ТГ, °C	$t_{\text{макс.}} \text{ по ДТА, } ^\circ\text{C}$	Суммарная потеря массы по ТГ, %
I	80—230	210 (↑)	18
	280—430	410 (↓)	48
	460—650	470 (↓), 620 (↑)	56
	700—890	780 (↓), 880 (↓)	80

ветствующих этим участкам (рис. 1, кривая 1), равно: на первом участке — 36, на втором — 15. По наклонам кривой расходования ГПК на этих участках в координатах  $\lg[\text{ГПК}] - \tau$  (рис. 1, кривая 2) рассчитаны величины псевдомономолекулярных констант скоростей отдельных стадий распада ГПК: I уч. —  $k_1 = 5,7 \cdot 10^{-5} \text{ с}^{-1}$ , II уч. —  $k_2 = 2,5 \cdot 10^{-5} \text{ с}^{-1}$ .

Полученные данные свидетельствуют о снижении катализитической активности комплекса I в ходе разложения ГПК, по-видимому, вследствие химической реакции между ними. Введение (рис. 1, ↓) дополнительного количества I сопровождается ускорением процесса разложения инициатора.

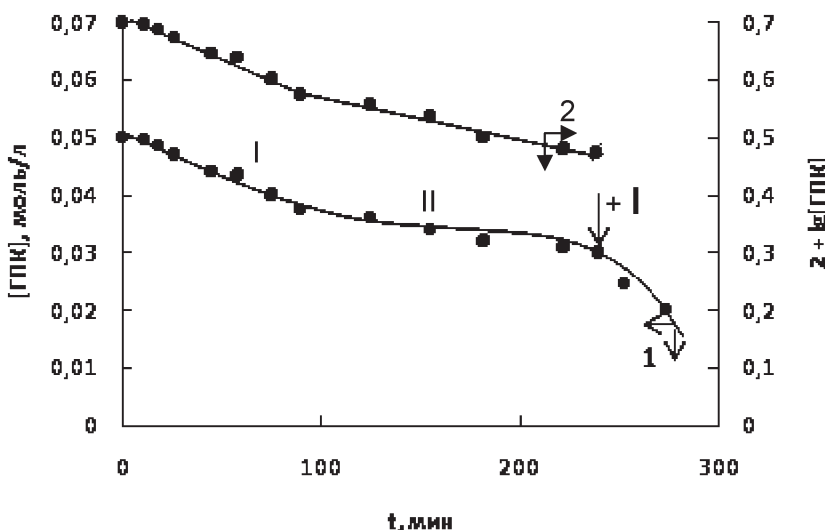


Рис. 1. Кинетическая кривая разложения ГПК (1) и ее полулогарифмическая анаморфоза (2), катализированного I;  $T = 353 \text{ K}$ ,  $[\text{ГПК}] = 5 \cdot 10^{-2} \text{ моль/л}$ ,  $[\text{I}] = 3,9 \cdot 10^{-4} \text{ моль/л}$ . I уч. —  $k_1 = 5,7 \cdot 10^{-5} \text{ с}^{-1}$ ,  $v_1 = 120$ ; II уч. —  $k_2 = 2,5 \cdot 10^{-5} \text{ с}^{-1}$ ,  $v_2 = 40$

Следующие опыты были связаны с использованием третичных гидропероксидов в присутствии комплекса I непосредственно в условиях полимеризующегося стирола.

Методом дилатометрии изучена кинетика полимеризации стирола в масе в присутствии систем ГПК — I и ГПТБ — I в температурном

диапазоне 323—363 К. Опыты проводились при одинаковых условиях: концентрация третичных гидропероксидов составляла  $5 \cdot 10^{-2}$  моль/л, I —  $3,9 \cdot 10^{-4}$  моль/л. Для сравнительной оценки инициирующей активности в аналогичных условиях изучена кинетика полимеризации стирола в присутствии индивидуальных компонентов ГПК, ГПТБ, I и систем: третичные гидропероксиды — комплекс хлорида меди(II) с пиперидин-1-ил пиперидин-1-карбодитиоатом. Опыты проводили до 10 % конверсии превращения мономера в полимер.

В качестве примера на рис. 2 представлены кинетические кривые полимеризации стирола, инициированной ГПК, I и системой ГПК — I при  $T = 353$  К. Из рис. 2 следует, что I является эффективным катализатором разложения ГПК и реализует процесс полимеризации со скоростью в 6 раз выше, чем при применении индивидуального ГПК. Обнаружено также, что I с предельной растворимостью  $3,9 \cdot 10^{-4}$  моль/л является еще и инициатором полимеризации стирола, обеспечивая протекание процесса примерно с такой же скоростью, как и в присутствии ГПК ( $5 \cdot 10^{-2}$  моль/л).

Общеизвестно, что инициирование является наиболее энергоемкой, а следовательно, лимитирующей стадией сложного полимерационного процесса. Представляло практический интерес изучить инициирующую активность систем третичные гидропероксиды — комплекс I и их отдельных компонентов, включая лиганд L, при полимеризации стирола в зависимости от температуры. Наряду с величиной скорости процесса, рассчитанной из кинетических кривых  $S = f(t)$ , были измерены молекулярные массы полимеров, выделенных при одинаковой конверсии ( $S = 10\%$ ).

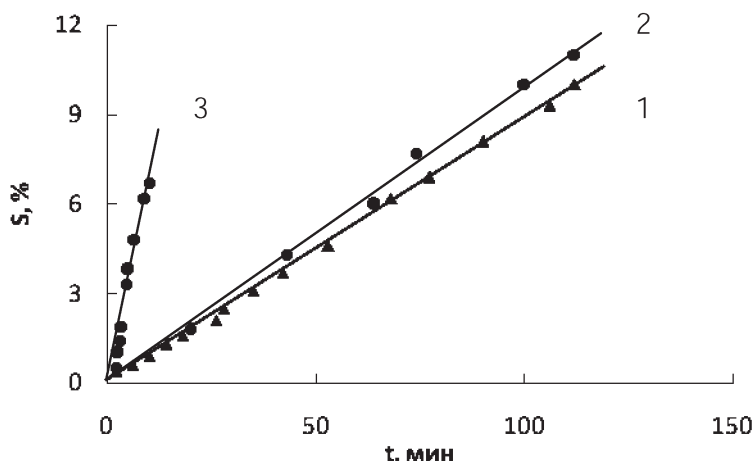


Рис 2. Кинетические кривые полимеризации  $S = f(t)$ , инициированной: 1 — I,  $V_{\text{пол}} = 1,2 \cdot 10^{-4}$  моль/л·с; 2 — ГПК,  $V_{\text{пол}} = 1,4 \cdot 10^{-4}$  моль/л·с; 3 — ГПК — I,  $V_{\text{пол}} = 8,7 \cdot 10^{-4}$  моль/л·с.  $T = 353$  К, [ГПК] =  $5 \cdot 10^{-2}$  моль/л, [I] =  $3,9 \cdot 10^{-4}$  моль/л

Совокупность полученных экспериментальных данных сведена в табл. 2.

Для сравнительной оценки в табл. 2 включены данные по скорости термополимеризации.

Анализ результатов позволяет сделать определенные выводы, исходя из температурной зависимости скорости полимеризации стирола, инициируемой ГПК — I, ГПТБ — I и отдельными компонентами этих систем.

Таблица 2

**Результаты изучения инициирующей активности систем ГПК — I, ГПТБ — I и их компонентов в процессе полимеризации стирола в зависимости от температуры  $[ГПК] = 5 \cdot 10^{-2}$  моль/л,  $[ГПТБ] = 5 \cdot 10^{-2}$  моль/л,  $[I] = 3,9 \cdot 10^{-4}$  моль/л,  $[L] = 5 \cdot 10^{-4}$  моль/л**

$T, K$	Термополимеризация	I			ГПК	ГПК + L	ГПК — I			ГПТБ	ГПТБ — I
		$V_{\text{пол}} \cdot 10^4$ , моль/л·с	$V_{\text{пол}} \cdot 10^4$ , моль/л·с	$M \cdot 10^{-3}$			$V_{\text{пол}} \cdot 10^4$ , моль/л·с	$V_{\text{пол}} \cdot 10^4$ , моль/л·с	$M \cdot 10^{-3}$		
293	—	не реал-ся	—	—	—	—	0,2	—	—	—	—
303	—	не реал-ся	—	—	—	—	0,6	40	—	0,1	—
313	—	не реал-ся	—	—	—	—	1,2	70	—	0,6	—
323	—	не реал-ся	—	—	—	—	3,2	110	—	1,6	—
333	0,01	—	—	0,35	0,38	4,7	120	0,3	2,1	—	—
343	0,06	0,6	840	0,7	—	6,6	145	0,7	3,5	—	—
353	0,15	1,2	795	1,4	1,6	8,7	—	1,4	6,8	—	—
363	0,30	2,3	630	3,0	3,4	14,0	175	3,0	9,5	—	—
$E_{\text{акт. пол.}}$ кДж/моль	105	61		85		45		70	65	—	—
$E_{\text{акт. иниц.}}$ кДж/моль	162	73		110		55		85	80	—	—

Прежде всего, весьма неожиданным фактом оказалась способность систем ГПК — I и ГПТБ — I инициировать полимеризацию стирола в области температур 293—363 К, при которых индивидуальные инициаторы практически не подвергаются разложению. В области 333—363 К эти системы обеспечивают протекание полимеризации стирола со скоростью, значительно превышающей скорость как термо-, так и полимеризации стирола, инициируемой ГПК и ГПТБ.

Данные опытов в присутствии I (табл. 2) свидетельствуют о том, что он способен инициировать полимеризацию стирола, начиная с температуры 343 К. Его инициирующая активность при концентрации  $3,9 \cdot 10^{-4}$  моль/л примерно такая же, как и у ГПК и ГПТБ при концентрации  $5 \cdot 10^{-4}$  моль/л.

Влияние лиганда на разложение ГПК весьма незначительно, и в пределах ошибки опыта им можно пренебречь.

Значения молекулярных масс полимеров, выделенных при одинаковой конверсии 10 %, для системы ГПК — I увеличиваются с повышением температуры. Этот необычный и интересный факт находится в противоречии с выводами теории радикальной полимеризации [15]. Для нескольких образцов полимеров по данным анализа гель-проникающей хроматографии (хроматограф GPCV 2000 фирмы «Waters») были рассчитаны значения полидисперсности ( $M_w/M_n$ ). Показано, что в зависимости от температуры при прочих равных условиях полимеризации образуются продукты с различной

полидисперсностью: при  $T = 323$  К  $M_w/M_n = 1,5$ , при  $T = 343$  К  $M_w/M_n = 2,8$ , при  $T = 363$  К  $M_w/M_n = 3,4$ .

Небольшие значения  $E_{акт. иниц.}$  для систем ГПК — I, ГПТБ — I, рассчитанные исходя из температурной зависимости скорости полимеризации, по сравнению с  $E_{акт. иниц.}$  при термо- и полимеризации стирола в присутствии ГПК и ГПТБ свидетельствуют о возможности осуществления полимеризации стирола по энергосберегающей технологии в области низких температур.

## **Выводы**

1. Впервые реакцией безводного хлорида меди(II) и пиперидин-1-ил пиперидин-1-карбодитиоата в ацетоно-эфирной среде получен комплекс I с брутто-формулой  $C_{11}H_{19}C_{13}Cu_2N_2S_2$ . Методами масс-спектрометрии,магнетохимии и термогравиметрии получена физико-химическая характеристика I.

2. Изучена кинетика разложения гидропероксида кумола в этилбензоле (как модельном растворителе) в присутствии комплекса I при 353 К. Установлено, что I является катализатором разложения ГПК, рассчитаны константы и число катализитических циклов на различных стадиях процесса.

3. Доказано, что системы ГПК — I, ГПТБ — I способны, по сравнению с термоустойчивыми третичными гидропероксидами, стимулировать полимеризацию стирола в температурном диапазоне 293—323 К. С повышением температуры их инициирующая активность растет.

4. Исходя из аррениусовой зависимости  $\lg [V_n] = f(1/T)$ , рассчитана энергия активации инициирования в температурном диапазоне 293—363 К. Показано, что ее значение уменьшается в ряду: термополимеризация — 160 кДж/моль, ГПК — 110 кДж/моль, ГПТБ — 85 кДж/моль, ГПК — I — 55 кДж/моль, ГПТБ — I — 80 кДж/моль.

5. Методом гель-проникающей хроматографии и вискозиметрии измерены молекулярные массы полимеров, образующихся при инициировании полимеризации стирола системой ГПК — I, в зависимости от температуры. Обнаружено увеличение молекулярных масс полимеров с повышением температуры, что находится в противоречии с теорией радикальной полимеризации.

6. Изучена инициирующая активность I в процессе полимеризации стирола в температурном интервале 293—363 К. Показано, что I способен стимулировать полимеризацию стирола начиная с 343 К. Для полимеризации стирола в присутствии комплекса в диапазоне 343—363 К энергия активации инициирования составляет 73 кДж/моль.

7. Применение I, как инициатора, позволяет получить полимеры с более высокими молекулярными массами, нежели при использовании систем ГПК — I, ГПТБ — I.

## **Литература**

- Грекова А. В., Иванченко П. А., Сейфуллина И. Й., Эпимахов Ю. К. Инициирующая активность систем третичные гидропероксиды — N,N-диэтилдитиокарбаматы 3d-металлов в реакциях полимеризации виниловых мономеров // Тез. докл. IV Международной конференции «Современные проблемы физической химии». — Донецк, 2009. — С. 87.
- Грекова А. В., Иванченко П. А., Сейфуллина И. Й., Хитрич Н. В. Влияние N,N-диэтилдитиокарбаматов 3d-металлов на инициирование полимеризации сти-

- рола третичными гидропероксидами // Тез. докл. XII Укр. конф. по химии высокомолекулярных соединений «ВМС-2010». — К., 2010. — С. 13.
3. Руководство по неорганическому синтезу: В 6 т. Т. 5: Пер. с нем. / Под ред. Г. Брауэра. — М.: Мир, 1985. — 360 с.
4. Вайсбергер А., Проскауэр Э., Риддик Дж., Тупс Э. Органические растворители. — М.: Изд-во иностр. литер., 1958. — 519 с.
5. Бырько В. М. Дитиокарбаматы. — М.: Наука, 1984. — 342 с.
6. Smith G. E. P., Alliger G., Carr E. L., Young K. C. Thiocarbamylsulfenamides // J. Org. Chem. — 1949. — V. 14, No. 6. — P. 935—945.
7. Хитрич Г. Н., Сейфуллина И. Й., Хитрич Н. В. Синтез, строение и свойства N-замещенных тиокарбамоил-N'-пентаметиленсульфенамидов // Вісник Одеського національного університету. — 2007. — Т. 12, № 1. Хімія. — С. 78—84.
8. Климова В. А. Основные микрометоды анализа органических соединений. Изд. 2-е доп. — М.: Химия, 1975. — 224 с.
9. Шварценбах Г., Флашка Г. Комплексонометрическое титрование. — М.: Химия, 1970. — 360 с.
10. Калинников В. Т., Ракитин Ю. В. Введение в магнетохимию. Метод статической магнитной восприимчивости в химии. — М.: Наука, 1980. — 302 с.
11. Анисимов Ю. Н., Галибей В. И., Иванченко П. А. и др. Процессы полимеризации и физико-химические методы исследования. — К.: Вища школа, 1987. — 160 с.
12. Вацулик П. Химия мономеров. — М.: ИЛ, 1960. — Т. 1. — С. 435.
13. Антоновский В. Л. Органические перекисные инициаторы. — М.: Химия, 1972. — 444 с.
14. Иванченко П. А., Хитрич Н. В., Эпимахов Ю. К., Сейфуллина И. И. Катализическое влияние трис(Н,N-диметилдитиокарбаматов) кобальта(III) на радикалообразование гидропероксида кумола в модельных системах при полимеризации стирола // Вестник Одесского национального университета. — 2005. — Т. 10, № 1. — С. 5-12.
15. Багдасарьян Х. С. Теория радикальной полимеризации. — М.: Наука, 1966. — 300 с.

**A. B. Грекова, П. О. Іванченко, І. Й. Сейфулліна, Г. М. Хитрич**

Одеський національний університет імені І. І. Мечникова,  
хімічний факультет, кафедра загальної хімії та полімерів,  
вул. Дворянська, 2, Одеса, 65082, Україна

**НОВІ ІНІЦІЮЧІ СИСТЕМИ ДЛЯ ПОЛІМЕРИЗАЦІЇ  
ВІНІЛОВИХ МОНОМЕРІВ ТРЕТИННІ ГІДРОПЕРОКСИДИ —  
КОМПЛЕКС ХЛОРИДУ МІДІ(ІІ)  
З ПІПЕРИДИН-1-ІЛ ПІПЕРИДИН-1-КАРБОДІТІОАТОМ**

**Резюме**

Вивчена кінетика полімеризації стиролу в масі, ініційована третинними гідропероксидами бутилу та кумілу, комплексом хлориду міді(ІІ) з піперидин-1-іл піперидин-1-карбодітіоатом та системами на їх основі в температурному діапазоні 293—363 К. Визначені кінетичні параметри полімеризаційного процесу. Встановлено, що застосування двокомпонентних систем третинні гідропероксиди — комплекс хлориду міді(ІІ) з піперидин-1-іл піперидин-1-карбодітіоатом для полімеризації стиролу супроводжується суттевим зниженням енергії активації ініціювання.

**Ключові слова:** комплекс хлориду міді(ІІ) з піперидин-1-іл піперидин-1-карбодітіоатом, гідропероксиди кумолу та третинного бутилу, стирол.

*Новая инициирующая система для полимеризации стирола*

---

**A. V. Grekova, P. A. Ivanchenko, I. I. Seifullina, G. N. Khitrich**

I. I. Mechnikov Odessa National University,  
Chemical Faculty, Department of General Chemistry and Polymers,  
Dvoryanskaya St., 2, Odessa, 65082, Ukraine

**NEW INITIATOR SYSTEMS FOR POLYMERIZATION  
OF VINYL MONOMERS TERTIARY HYDROPEROXIDES —  
COMPLEX OF COPPER(II) CHLORIDE  
WITH PIPERIDIN-1-YL PIPERIDINE-1-CARBODITHIOATE**

**Summary**

Kinetics of polymerization of styrene in-bulk initiated by tertiary hydroperoxides of butyl and cumene, by the complex of copper(II) chloride with piperidin-1-yl piperidine-1-carbodithioate and systems on their basis in a temperature range 293—363 K is studied. The kinetic parameters of polymerization process are determined. It is set that application of the double-base systems tertiary hydroperoxides — complex of copper(II) chloride with piperidin-1-yl piperidine-1-carbodithioate for polymerization of styrene is accompanied by the substantial decline of energy of activation of initiating.

**Key words:** complex of copper(II) chloride with piperidin-1-yl piperidine-1-carbodithioate, hydroperoxides of cumene and tertiary butyl, styrene.